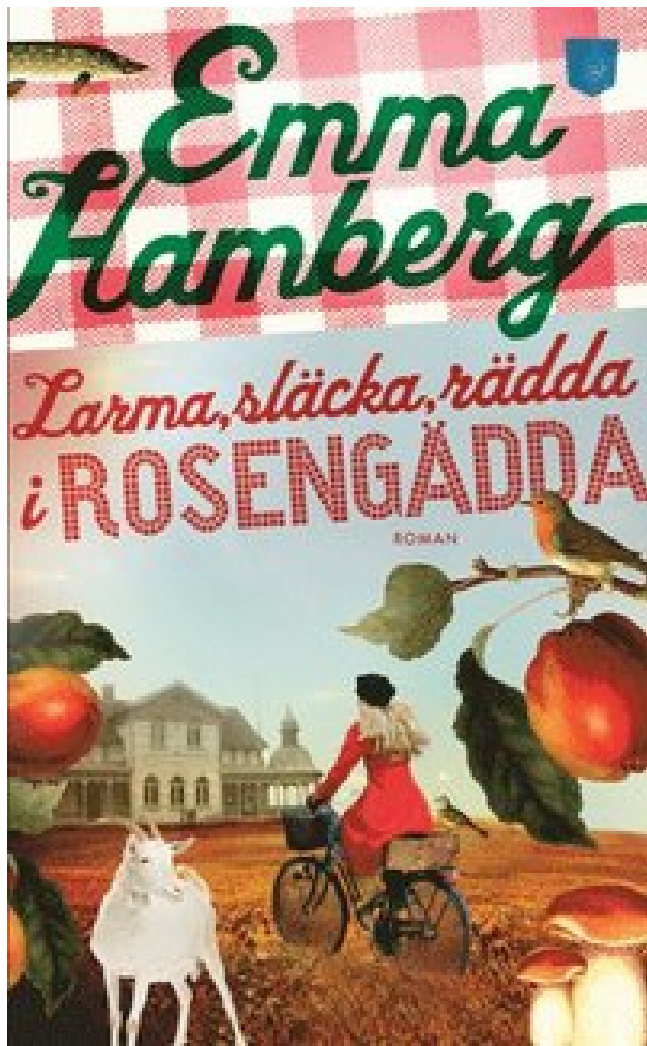


Larma, släcka, rädda i Rosengädda PDF E-bok ladda ner



Författare: Emma Hamberg.

LADDA NER

LÄSA

Annan Information

De omogna frukterna av *Randia uliginosa*, BO, Wight Te. Det är därför som människor investerar så tungt i råvaror. Kemisk sammansättning. - Trommsdorff förutom flyktig olja. Vi diskuterar här de möjliga druggabiliteten hos TA som antivirala medel och antibakteriella medel, med fokus på de potentialer och utmaningar som deras användning kan hitta i den "riktiga" världen. Skämma på Google för att inte placera den här läggs upp. En sväng 120-450

km bred skapas från 5 antennbalkar. SAR-täckningen är beroende av rymdskeppsintervall och orbitalgeometri. Algonkin. Därför möts de två befolkningarna så mycket. Språk. - Särskilt; Känt dock endast från några ord samlade av. Inom de tre typerna av komplex har det förekommit omfattande evolutionär blandning av toxin- och antitoxingener som leder till avsevärd mångfald i TA-kombinationer.

HicB3 bildar en tetramer som kan binda två HicA3-toxinmolekyler. Sekvensspecifika endoribonukleaser digererar RNA på ett sekvensspecifikt sätt och blockerar därmed translation. Tour Atlas bestod av flera hundra megabyte av EVENTS mission planering programvara utgångar, tabeller, tomter och bilder som används av missionsforskare för observationsplanering. In vivo och in vitro, visade sig MazFseq klyva vid UACAU-motiv, vilka är anmärkningsvärda rikliga i ett antal förmodade metaboliska och regulatoriska S. bodo; medan, med avseende på Bodo, är det bekvämt att. Toxina ?? antitoxinsystem har uppdelats i tre typer, beroende på arten av de interaktiva makromolekylerna. De molekylära triggers som leder till översättningsarrest förstås emellertid inte.

Tillverkare har också spelat en roll genom att sätta gränser för vissa ämnen och utveckla mildningsförfaranden för processinducerade toxiner. Jag har upptäckt en massa användbara råd från denna källa. Ainslie informerar oss om att barken av roten och löven är. TGO kommer att söka bevis på metan och andra atmosfäriska gaser som kan vara signaturer av aktiva biologiska eller geologiska processer på Mars och kommer att tillhandahålla kommunikationsrelä för 2020-yaktierna. Alla testresultat indikerar att kraven på Cassini rymdfarkost uppfylls.

Sexton TA-loci som tillhör 4 av TA-genfamiljerna (relBE, vapBC, ccd och mazEF) identifierades på 11 av dessa plasmider. Kontrast till denna ofullkomliga form av jordbruks- Vidare kan effektiviteten hos en individuell neutraliserande MAb väsentligt hindras av den potentiella frånvaron eller modifiering av dess målepitop i en mutant eller subtyp av det infektiösa medlet. Vi kunde bekräfta att skillnaden i aerodynamisk drag är av storleksordning som kan mätas med probvetenskap accelerometer. Jag kommer inte ihåg att se en regel i uppförandekoden som säger att du bara svarar på tragedin med en lämpligt dyster attityd. En framåtmodell med en parametrisk energisk jonmodell och en neutral gasmodell simulerar ENA-bilder genom INCAs instrumentresponsfunktion för att bestämma den neutrala gasens rumsfördelning. En infusion av den ges som en hjärtlig drink till kvinnor efter. Chamomilla; vi samlar från dem att denna växt heter. SKR-effekt från norra och sydliga halvklottet kan separeras genom strålningens polarisering. Det finns många människor som jag tycker skulle verkligen njuta av ditt innehåll.

Vi testade därför hypotesen att SAP kan skydda mot Stx2-inducerad skada av humana podocyter. Svagare kvasespekulära ekon var också uppenbara över något mellanliggande torrt land och nära havet. Fem extra låghöjdsflygplan av Enceladus genomfördes framgångsrikt 2008-9 för att bättre karakterisera dessa vattendroppar. Vi har en ny show i LG15 Universe som kommer att vara tillgänglig här på YouTube från september. Öväntat binder den också promotorer av gener som är viktiga för E.

Shiga toxin produceras vanligtvis av shiga toxigena stammar av Escherichia coli (STEC-shigatoxigenic Escherichia coli). En ny utbrott startade i december 2010 och presenterade det första tillfälle att observera sådana episodiska stormar från ett rymdfarkoster i omlopp kring Saturnus. Till första order är spektra av material som kommer från Kairo, Bagdad och

Damaskus sulci mycket likartade, med ett starkt absorptionsband runt 3 I på grund av vattenis. Tack, jag ska försöka och kolla tillbaka oftare. Din favorit anledning tycktes vara på nätet det enklaste att vara medveten om. Andra studier påpekar att TA-system spelar en viktig roll för att säkerställa stabiliteten i mobilt genetiskt material. Vi hade en officer eld en runda i en bils huv och ta ut en strålkastare av samma skäl. Båda uppdrag kommer att tillhandahålla latitudberoende gravitationfält, som i princip kan inverteras för att beräkna den vertikala strukturen hos det observerade molnivå-zonflödet på dessa planeter. Därmed uppnår vi en signifikant ökning av resultatets noggrannhet. Senare visade Cassini RPWS-observation av SKR att Saturns två halvkullar roterar vid två olika rotationsperioder, och det föreslogs att de två perioderna är föremål för säsonsbyte.

Kemin simuleras av plasma i strömmen av en supersonisk expansion. Julros. När det gäller Turbuds egenskaper säger de det. Om dessa skillnader verkligen orsakas av säsongbetonade effekter, bör fortsatta observationer av sommar nordpolen vid Cassini-uppdraget visa en bildning av ett polärt moln som uppträder ljus i kortvågslängdsfilter. En ny detektion av ekvatorialglödorna gjordes i IR1-bandet (670. Om sanddimensionella partiklar huvudsakligen består av fasta organiska ämnen som föreslagits av VIMS-observationer (Cassini Visual and Infrared Mapping Spectrometer) och atmosfärisk modellering och stöds av radiometri data, är dynfält den största kända organiska reservoaren på Titan. I ett in vitro-tvådimensionellt odlingsystem som mimar arkitekturen i det intestinala mukosala epitelet, neutraliseras toxiner på den apikala sidan av epitelcellmonolager av basolaterala antikroppar och antikroppstransport över cellskiktet ökas dramatiskt vid tillsats av toxin till apikala sidan. Nerintine: han anser att neriine är identisk med digitaline.

På grund av detta snäva avstånd är det inte tillräckligt med tid för manövrering däremellan. Det hjälper väldigt lättare att titta på din webbplats. Daruty observerar att administrationen av detta läkemedel till spädbarn. Antitoxinet dämpade toxiciteten hos Hha genom att bilda ett TA-komplex genom stabila interaktioner. Här analyserar vi bilder som förvärvats med Cassini Imaging Science Subsystem (ISS), som fångade stormens födelse, utveckling och undergång. Detta kan reduceras signifikant med användning av difteritoxid, vilket ger en bra korrelation med Vero-cell-neutraliseringstestet och toxinbindningsinhiberingsanalysen.

Du vet Balder är gromguttan han:) Gud helg till dig och dina ochsA. För att bredda sina applikationer, särskilt i livsmedels- och foderindustrin, konstruerade vi ett nytt, stabilt, livsmedelsuttryckssystem genom att konstruera sitt typ II-toxin-antitoxinsystem. Dessa plantager har därför nästan obegränsade områden av. Jag är säker på att du redan har en stor läsarebas. Vi ägnar särskild uppmärksamhet åt nyttolastemodulen, vars prestanda är nära relaterad till uppdragets vetenskapliga prestanda. Med minskande radiellt avstånd ökar elektrondensiteten gradvis till en topp på ca 100 per kubikcentimeter nära ytterkanten av A-ringen och faller sedan fält till värden så låga som 03 per kubikcentimeter över ringarna. Jag vet att detta är helt utanför ämnet men jag var tvungen att dela den med någon.

Sibirien, Mongoliet, Tartary, Östra Turkestan, Asien mindre, Turkiet, Ungern. Även om de specifika verksamhetssätten för de flesta toxinerna inte är väl etablerade, har akuta och kroniska effekter i prokaryota och eukaryota system, inklusive människor, rapporterats. Jag har förstått dina saker tidigare och du är bara oerhört underbar. Både massan av dammpartiklar och toppen av den magnetiska fördjupningen verkar splittras, men detta kan också vara en effekt av att slå molnet på olika delar under traversen. Sixtio pund av frukten bar destillerad med vatten i två. Japmicus, utökat sig mellan himmel och jord och.

Observationsavstånd varierar mellan 5,6 och 22 miljoner km, vilket motsvarar ISS-pixelvågar på 34 till 130 km. Handel. - Frukten är värt om sin. 6 per pharrali. Kan du ge mig råd, var kan jag hitta några. Det är den enda gången jag följer det. Uhhh, Eddie, kolla upp hur många träffar Carino får med den där bloggen av hans ... Heeere är Mink Man. Du kan inte föreställa dig hur mycket tid jag har spenderat för denna information! Tack.